

Katowice, dn. 2022-06-23

Orange Polska S.A.  
Al. Jerozolimskie 160  
02-326 Warszawa

Pełnomocnik: Anna Kulińska  
Pełnomocnictwo numer: 167/01/22  
z dnia: 2021-01-13

**dane do korespondencji:**

**NetWorkSI Sp. z o.o.**  
ul. Al. Rozdzieńskiego 188H  
40-203 Katowice  
tel. 506401383

**Starosta Powiatu w Stalowej Woli**

**ul. Podleśna 15**

**37-450 Stalowa Wola**

**Dotyczy:** ustawowego obowiązku, wynikającego z art. 152 ust. 1 i ust. 7 w związku z ust. 6 pkt 1c ustawy z dnia 27 kwietnia 2001r – Prawo ochrony środowiska (Dz.U. z 2021r. poz. 1973 z późn. zm.).

Działając z upoważnienia Orange Polska S.A. z siedzibą Al. Jerozolimskie 160, 02-326 Warszawa, **informuję o zmianie danych w zakresie nazwy instalacji oraz wielkości i rodzaju emisji** dla instalacji radiokomunikacyjnej **5601 (24105N!) STALOWA WOLA (KTB\_STALOWAWOLA\_MOSTOSTAL)** zlokalizowanej w miejscowości STALOWA WOLA, PL. JANA PAWŁA II 25a DZ.742/1. W stosunku do informacji zawartej w zgłoszeniu realizowanym dla tej instalacji w trybie art. 152 ust. 1 i 5 ustawy z dnia 27 kwietnia 2001r – Prawo ochrony środowiska (Dz.U. z 2021r. poz. 1973 z późn. zm.), dane ulegają zmianie w następujący sposób:

**2. Nazwa instalacji zgodna z nazewnictwem stosowanym przez prowadzącego instalację:**

Instalacja radiokomunikacyjna - **1903 (24105N!) STALOWA WOLA (KTB\_STALOWAWOLA\_MOSTOSTAL)**

**9. Wielkość i rodzaj emisji<sup>2)</sup>:**

Pole elektromagnetyczne. EIRP poszczególnych anten zostało podane w pkt 12, tj.

| Lp. | Równoważna moc promieniowana izotropowo (EIRP) [W] |
|-----|--|
| 1.  | 5599   |
| 2.  | 6728   |
| 3.  | 9998   |
| 4.  | 5599   |
| 5.  | 6727   |
| 6.  | 9997   |
| 7.  | 5599   |
| 8.  | 6728   |
| 9.  | 9998   |
| 10. | 3170   |
| 11. | 1779   |
| 12. | 631  |
| 13. | 6040   |

**12. Szczegółowe dane, odpowiednio do rodzaju instalacji, zgodne z wymaganiami określonymi w załączniku nr 2 do Rozporządzenia:**

| Lp. | 1)                        | 2)  | 3)   | 4)   | 5)         |   |
|-----|---------------------------|---|--|--|------------|---|
|     | Współrzędne geograficzne  | Częstotliwość lub zakresy częstotliwości pracy instalacji [MHz] | Wysokość środka elektrycznego anteny [m n.p.t] | Równoważna moc promieniowana izotropowo (EIRP) [W] | Azymut [°] | Kąt pochylenia lub zakresy kątów pochylenia [°] |
| 1.  | 22°3'32.2"<br>50°34'35.5" | 2100  | 56.8   | 5599   | 100        | 6   |
| 2.  | 22°3'32.2"<br>50°34'35.5" | 900/1800  | 56.8   | 6728   | 100        | 6/6   |
| 3.  | 22°3'32.2"<br>50°34'35.5" | 800/2600  | 56.8   | 9998   | 100        | 6/6   |
| 4.  | 22°3'33.1"<br>50°34'35.3" | 2100  | 56.4   | 5599   | 225        | 6   |
| 5.  | 22°3'33.1"<br>50°34'35.3" | 900/1800  | 56.4   | 6727   | 225        | 6/7   |
| 6.  | 22°3'33.1"<br>50°34'35.3" | 800/2600  | 56.4   | 9997   | 225        | 4/6   |
| 7.  | 22°3'33.1"<br>50°34'34.9" | 2100  | 56.4   | 5599   | 340        | 6   |
| 8.  | 22°3'33.1"<br>50°34'34.9" | 900/1800  | 56.4   | 6728   | 340        | 7/8   |
| 9.  | 22°3'33.1"<br>50°34'34.9" | 800/2600  | 56.4   | 9998   | 340        | 6/6   |

| Lp. | 1)                         | 2)  | 3)   | 4)   | 5)         |   |
|-----|----------------------------|---|--|--|------------|---|
|     | Współrzędne geograficzne   | Częstotliwość lub zakresy częstotliwości pracy instalacji [MHz] | Wysokość środka elektrycznego anteny [m n.p.t] | Równoważna moc promieniowana izotropowo (EIRP) [W] | Azymut [°] | Kąt pochylenia lub zakresy kątów pochylenia [°] |
| 10. | 22°3'32.8"<br>50°34'35.23" | 15000   | 52.1   | 3170   | 3*         | nd.   |
| 11. | 22°3'32.8"<br>50°34'35.23" | 80000   | 52   | 1779   | 194*       | nd.   |
| 12. | 22°3'32.8"<br>50°34'35.23" | 38000   | 53.5   | 631  | 201*       | nd.   |
| 13. | 22°3'32.8"<br>50°34'35.23" | 23000   | 47   | 6040   | 270*       | nd.   |

\*) tolerancja azymutu od -10° do +10°.

Informuję, iż dokonane zmiany w zakresie wielkości i rodzaju emisji przedmiotowej instalacji nie powodują zmiany instalacji w sposób istotny zgodnie z art. 3 pkt 7 ustawy Poś.

W załączniku przesyłam:

1. Pełnomocnictwo
2. Kopia potwierdzenia wniesienia opłaty skarbowej.
3. Sprawozdanie z pomiarów pól elektromagnetycznych wykonanych dla celów ochrony środowiska.

Otrzymują:

1. a/a
2. adresat



Signed by /  
Podpisano przez:

Anna Kulińska

Date / Data:  
2022-06-23  
09:23





Laboratorium Badań Środowiskowych  
ul. Józefa Piusa Dziekońskiego 3  
00-728 Warszawa  
e-mail: [Laboratorium@networks.pl](mailto:Laboratorium@networks.pl)



AB 419

**S P R A W O Z D A N I E 1971/2022/OS**  
**Z POMIARÓW PÓL ELEKTROMAGNETYCZNYCH**  
**WYKONANYCH DLA POTRZEB OCHRONY ŚRODOWISKA**

**Badany obiekt:** Instalacja radiokomunikacyjna Orange Polska S.A.  
**Numer i nazwa:** 1903 (24105N!) STALOWA WOLA (KTB\_STALOWAWOLA\_MOSTOSTAL)  
**Adres:** STALOWA WOLA, PL. JANA PAWŁA II 25a DZ.742/2, Powiat stalowowolski, WOJ.  
PODKARPACKIE

**Data wykonania pomiarów:** 2022-06-01

Sprawozdanie z badań bez pisemnej zgody laboratorium nie może być powielane inaczej niż w całości.  
Wynik przedstawione w niniejszym sprawozdaniu odnoszą się wyłącznie do badanego obiektu i do warunków i konfiguracji urządzeń w dniu wykonywania pomiarów.

**1. Właściciel badanego obiektu:**

Orange Polska S.A., Al. Jerozolimskie 160, 02-326 Warszawa

**2. Zleceniodawca:**

Orange Polska S.A., Al. Jerozolimskie 160, 02-326 Warszawa

**3. Przedstawiciel zleceniodawcy:**

NetWorkS! Sp.z o.o.

**4. Zakres zlecenia:**

Wykonanie badania i opracowanie sprawozdania z pomiarów natężenia pola elektrycznego i pola magnetycznego dla instalacji radiokomunikacyjnej Orange Polska S.A. zlokalizowanej w miejscowości STALOWA WOLA, PL. JANA PAWŁA II 25a DZ.742/2.

**5. Cel zlecenia:**

Wykonanie pomiarów pól elektromagnetycznych w otoczeniu instalacji radiokomunikacyjnej 1903 (24105N!) STALOWA WOLA (KTB\_STALOWAWOLA\_MOSTOSTAL) w odniesieniu do wymagań określonych w *Rozporządzeniu Ministra Klimatu z dnia 17 lutego 2020 r. w sprawie sposobów sprawdzania dotrzymania dopuszczalnych poziomów pól elektromagnetycznych w środowisku (Dz. U. 2020, poz. 258)*.

**6. Pomiary zostały wykonane przez:**

Bąbik Przemysław  
Papka Paweł

**7. Informacje o źródłach pól elektromagnetycznych**

**7.1. Sposób identyfikacji badanych źródeł pól elektromagnetycznych**

Identyfikacji źródeł i parametrów technicznych dokonano na podstawie analizy dokumentacji dotyczącej zlecenia oraz obserwacji miejsca wykonywania badań.

**7.2. Opis miejsca zainstalowania anten i urządzeń technicznych. Opis obiektu badań i jego otoczenia**

Instalacja radiokomunikacyjna zlokalizowana jest na dachu. Anteny zawieszono na masztach usytowanych na dachu budynku. Urządzenia sterujące oraz zasilające zainstalowano w pomieszczeniu na ostatnim piętrze. Wokół instalacji miasto, budynki użyteczności publicznej, budynki mieszkalne.

Instalacja radiokomunikacyjna jest obiektem bezobsługowym. Okresowe stanowiska pracy związane są z prowadzonymi w zależności od potrzeb konserwacjami, przeglądami, strojeniem i naprawami.

Sprawozdanie z badań bez pisemnej zgody laboratorium nie może być powielane inaczej niż w całości.  
Wynik przedstawione w niniejszym sprawozdaniu odnoszą się wyłącznie do badanego obiektu i do warunków i konfiguracji urządzeń w dniu wykonywania pomiarów.

### 7.3. Parametry techniczne źródła pola elektromagnetycznego

Dane przedstawiające maksymalne parametry pracy instalacji przekazane przez zleceniodawcę:

Parametry systemu nadawczo-odbiorczego:

| Charakterystyka promieniowania  |  | kierunkowa           |              |            |                     |  |  |
|---------------------------------|--|----------------------|--------------|------------|---------------------|--|--|
| Rzeczywisty czas pracy [h/dobę] |  | 24                   |              |            |                     |  |  |
| Warunki pracy                   |  | znamionowe           |              |            |                     |  |  |
| Rodzaj wytwarzanego pola        |  | stacjonarne          |              |            |                     |  |  |
| Lp.                             | Częstotliwość lub zakresy częstotliwości pracy [MHz] | Typ/producent anteny | liczba anten | Azymut [°] | kąt pochylenia* [°] | Wysokość środka elektrycznego anteny [m n.p.t] | Równoważna moc promieniowana izotropowo (EIRP) [W] |
| 1                               | 2100   | 80010510v01 Kathrein | 1            | 100        | 6                   | 56.8   | 5599   |
| 2                               | 900/1800   | 742265 Kathrein      | 1            | 100        | 6/6                 | 56.8   | 6728   |
| 3                               | 800/2600   | ATR4518R6v06 Huawei  | 1            | 100        | 6/6                 | 56.8   | 9998   |
| 4                               | 2100   | 80010510v01 Kathrein | 1            | 225        | 6                   | 56.4   | 5599   |
| 5                               | 900/1800   | 742265 Kathrein      | 1            | 225        | 6/7                 | 56.4   | 6727   |
| 6                               | 800/2600   | ATR4518R6v06 Huawei  | 1            | 225        | 4/6                 | 56.4   | 9997   |
| 7                               | 2100   | 80010510v01 Kathrein | 1            | 340        | 6                   | 56.4   | 5599   |
| 8                               | 900/1800   | 742265 Kathrein      | 1            | 340        | 7/8                 | 56.4   | 6728   |
| 9                               | 800/2600   | ATR4518R6v06 Huawei  | 1            | 340        | 6/6                 | 56.4   | 9998   |

\* wskazane wartości kąta pochylenia anten, zgodnie z informacją uzyskaną od zleceniodawcy, są wartościami stałymi

Parametry radiolinii:

| Charakterystyka promieniowania  |                                   | kierunkowa                |  |                      |                     |            |                                    |
|---------------------------------|-----------------------------------|---------------------------|--|----------------------|---------------------|------------|------------------------------------|
| Rzeczywisty czas pracy [h/dobę] |                                   | 24                        |  |                      |                     |            |                                    |
| Warunki pracy                   |                                   | znamionowe                |  |                      |                     |            |                                    |
| Rodzaj wytwarzanego pola        |                                   | stacjonarne               |  |                      |                     |            |                                    |
| Lp.                             | Linia radiowa                     |                           |  | Antena               |                     |            |                                    |
|                                 | Typ/ Producent                    | Częstotliwość pracy [GHz] | Równoważna moc promieniowana izotropowo (EIRP) [W] | Typ/ producent       | Średnica anteny [m] | Azymut [°] | Wysokość za instalowania n.p.t [m] |
| 1.                              | RTN XMC-2 15G/2+0/56MHz Huawei    | 15                        | 3170   | VHLPX2-15 Andrew     | 0.6                 | 3          | 52.1                               |
| 2.                              | RTN 380 R2 70/80GHz 250MHz Huawei | 80                        | 1779   | VHLP1-80 Andrew      | 0.3                 | 194        | 52                                 |
| 3.                              | OLL 38G iPasolink 7MHz NERA       | 38                        | 631  | VHLP1-38 Andrew      | 0.3                 | 201        | 53.5                               |
| 4.                              | RTN XMC-2 23G/2+0/56MHz Huawei    | 23                        | 6040   | VHLPX2-23-HW1 Andrew | 0.6                 | 270        | 47                                 |

Sprawozdanie z badań bez pisemnej zgody laboratorium nie może być powielane inaczej niż w całości.  
Wynik przedstawione w niniejszym sprawozdaniu odnoszą się wyłącznie do badanego obiektu i do warunków i konfiguracji urządzeń w dniu wykonywania pomiarów.

#### 7.4 Inne źródła pól elektromagnetycznych

Na podstawie informacji otrzymanych od użytkownika oraz obserwacji otoczenia miejsca wykonywania pomiarów oraz stwierdzono występowanie innych źródeł pola-EM, pracujących w systemie: telefonii komórkowej (800MHz-2600MHz), niepublicznych sieci radiokomunikacyjnych (40MHz-470MHz), linii radiowych (5GHz – 90GHz). Nie rozpoznano szczegółowych danych dotyczących parametrów technicznych źródeł pola-EM innych użytkowników.

### 8. Opis pomiarów

#### 8.1. Metoda badań

Zgodna z rozporządzeniem Ministra Klimatu z dnia 17 lutego 2020 r. w sprawie sposobów sprawdzania dotrzymania dopuszczalnych poziomów pól elektromagnetycznych w środowisku (Dz. U. 2020, poz. 258), określona w pkt 25 ppkt 1 załącznika do niniejszego rozporządzenia.

Zgodnie z art. 122a ust. 1b ustawy Prawo Ochrony Środowiska, w przypadku wprowadzenia na części albo całym terytorium Rzeczypospolitej Polskiej stanu nadzwyczajnego, o którym mowa w art. 228 ust. 1 Konstytucji Rzeczypospolitej Polskiej z dnia 2 kwietnia 1997 r. (Dz. U. poz. 483, z 2001 r. poz. 319, z 2006 r. poz. 1471 oraz z 2009 r. poz. 946), lub stanu zagrożenia epidemicznego lub stanu epidemii, o których mowa w art. 46 ustawy z dnia 5 grudnia 2008 r. o zapobieganiu oraz zwalczaniu zakażeń i chorób zakaźnych u ludzi (Dz. U. z 2019 r. poz. 1239, z późn. zm.8) ), pomiarów , nie przeprowadza się w lokalach mieszkalnych oraz w lokalach użytkowych zlokalizowanych na terytorium objętym stanem nadzwyczajnym, stanem zagrożenia epidemicznego lub stanem epidemii.

W związku z obecnie obowiązującym stanem zagrożenia epidemicznego, pomiarów nie wykonano w lokalach mieszkalnych oraz w lokalach użytkowych zlokalizowanych w obszarze pomiarowym przedmiotowej instalacji radiokomunikacyjnej.

#### 8.2. Termin pomiarów i warunki środowiskowe

Podczas wykonywania pomiarów pól elektromagnetycznych nie występowały opady atmosferyczne. Wyniki pomiaru parametrów pogodowych przedstawia poniższa tabela:

| Data<br>[rrrr-mm-dd] | Godzina<br>[hh:mm-hh:mm] | Warunki środowiskowe |              |                         |              |
|----------------------|--------------------------|----------------------|--------------|-------------------------|--------------|
|                      |                          | Temperatura [°C]     |              | Wilgotność względna [%] |              |
| 2022-06-01           | 15:10-17:00              | Przed pomiarem       | Po pomiarach | Przed pomiarem          | Po pomiarach |
|                      |                          | 23.8                 | 23.6         | 52.5                    | 51.4         |

Przedstawione wyżej warunki środowiskowe, występujące podczas wykonywania pomiarów pól elektromagnetycznych, są zgodne ze specyfikacją techniczną użytego zestawu pomiarowego.

#### 8.3. Warunki pracy urządzeń nadawczych

Podczas pomiarów zostały uwzględnione poprawki pomiarowe przekazane przez zleceniodawcę, umożliwiające uwzględnienie maksymalnych parametrów pracy instalacji zgodnie z pkt 7 załącznika do Rozporządzeniem Ministra Klimatu z dnia 17 lutego 2020 r. w sprawie sposobów sprawdzania dotrzymania dopuszczalnych poziomów pól elektromagnetycznych w środowisku (Dz. U. 2020, poz. 258).

#### 8.4. Wyposażenie pomiarowe

Zestaw pomiarowy służący do pomiaru natężenia składowej elektrycznej pola elektromagnetycznego złożony z szerokopasmowego miernika i sondy pomiarowej:

| Oznaczenie miernika | Producent                  | Model                                    | Numer fabryczny | Oznaczenie sondy | Producent                  | Model        | Numer fabryczny |
|---------------------|----------------------------|--|-----------------|------------------|----------------------------|--------------|-----------------|
| M-06                | Narda Safety Test Solution | Miernik pól elektromagnetycznych NBM-550 | F-0208          | S-05             | Narda Safety Test Solution | Sonda EF6092 | A-0055          |

Mierniki natężenia pola elektromagnetycznego podlegają okresowemu sprawdzeniu zgodnie z procedurą wewnętrzną P-03 i PB-01. Świadectwo wzorcowania zestawu pomiarowego z dnia 22 lutego 2022 o numerze LWIMP/W/057/22 wydane przez Politechnika Wrocławską.

Data ważności świadectwa wzorcowania: 22 lutego 2024 (zgodnie z procedurą wewnętrzną P-03).

Sprawozdanie z badań bez pisemnej zgody laboratorium nie może być powielane inaczej niż w całości.  
Wynik przedstawione w niniejszym sprawozdaniu odnoszą się wyłącznie do badanego obiektu i do warunków i konfiguracji urządzeń w dniu wykonywania pomiarów.



| Oznaczenie miernika | Producent                  | Model                                    | Numer fabryczny | Oznaczenie sondy | Producent                  | Model                        | Numer fabryczny |
|---------------------|----------------------------|--|-----------------|------------------|----------------------------|------------------------------|-----------------|
| M-06                | Narda Safety Test Solution | Miernik pól elektromagnetycznych NBM-550 | F-0208          | S-25             | Narda Safety Test Solution | Sonda pomiarowa Narda EF0391 | D-1518          |

Mierniki natężenia pola elektromagnetycznego podlegają okresowemu sprawdzeniu zgodnie z procedurą wewnętrzną P-03 i PB-01. Świadectwo wzorcowania zestawu pomiarowego z dnia 22 lutego 2022 o numerze LWIMP/W/057/22 wydane przez Politechnikę Wrocławską.

Data ważności świadectwa wzorcowania: 22 lutego 2024 (zgodnie z procedurą wewnętrzną P-03).

Termohigrometr:

|             |       |            |                    |        |                       |
|-------------|-------|------------|--------------------|--------|-----------------------|
| Oznaczenie: | TH-06 | Producent: | AZ INSTRUMENT CORP | Model: | Termohigrometr AZ8706 |
|-------------|-------|------------|--------------------|--------|-----------------------|

Data ważności świadectwa wzorcowania: 30 grudnia 2022 (zgodnie z procedurą wewnętrzną P-03).

Dalmierz:

| Oznaczenie | Producent | Typ                       | Numer seryjny | Nr świadectwa wzorcowania | Data świadectwa wzorcowania |
|------------|-----------|---------------------------|---------------|---------------------------|-----------------------------|
| D-13       | Leica     | Dalmierz Leica Disto D510 | 1051011710    | 4665.1-M11-4180-1748/15   | 27 listopada 2015           |

Data ważności świadectwa wzorcowania: 27 listopada 2025 (zgodnie z procedurą wewnętrzną P-03).

## 9. Wyniki pomiarów

### Pole elektryczne

| Nr pionu | Opis umiejscowienia pionu (punktu) pomiarowego                    | Wysokość pomiaru [m] | Zmierzona wartość natężenia pola elektrycznego E [V/m] <sup>1,5</sup> |            |      | Wartość natężenia pola elektrycznego po uwzględnieniu poprawek pomiarowych powiększona o niepewność pomiaru <sup>4</sup> E [V/m] | Wskaźnikowa wartość poziomu emisji pól elektromagnetycznych WMe <sup>3</sup> | Współrzędne geograficzne pionu (punktu) pomiarowego <sup>2</sup> |
|----------|---|----------------------|---|------------|------|--|--|--|
|          |   |                      | Sonda S-05  | Sonda S-25 | SUMA |  |  |  |
| 1        | GKP w odległości 4m od anteny radioliniowej az. 3°                | 0,3-2,0              | <1,0  | <1,0       | <1,0 | 1.8  | 0.06   | 50°34'36.479"<br>22°3'32.04"                                     |
| 2        | GKP w odległości 23m od anteny radioliniowej az. 3°               | 2,0                  | 1,4   | 1,4        | 1,4  | 2.5  | 0.09   | 50°34'36.84"<br>22°3'32.04"                                      |
| 3        | GKP w odległości 43m od anteny radioliniowej az. 3°               | 0,3-2,0              | <1,0  | <1,0       | <1,0 | 1.8  | 0.06   | 50°34'37.56"<br>22°3'32.04"                                      |
| 4        | GKP w odległości 7m od anteny sektorowej az. 100°                 | 2,0                  | 1,4   | 1,4        | 1,4  | 2.5  | 0.09   | 50°34'35.759"<br>22°3'32.76"                                     |
| 5        | GKP w odległości 24m od anteny sektorowej az. 100°                | 2,0                  | 1,7   | 1,7        | 1,7  | 3.1  | 0.11   | 50°34'35.4"<br>22°3'33.48"                                       |
| 6        | GKP w odległości 53m od anteny sektorowej az. 100°                | 2,0                  | 1,3   | 1,3        | 1,3  | 2.4  | 0.08   | 50°34'35.4"<br>22°3'34.919"                                      |
| 7        | GKP w odległości 80m od anteny sektorowej az. 100°                | 2,0                  | 1,6   | 1,6        | 1,6  | 2.9  | 0.1  | 50°34'35.039"<br>22°3'36.359"                                    |
| 8        | GKP w odległości 4m od anteny radioliniowej az. 194°, 201° i 225° | 0,3-2,0              | <1,0  | <1,0       | <1,0 | 1.8  | 0.06   | 50°34'35.4"<br>22°3'32.04"                                       |
| 9        | GKP w odległości 33m od anteny radioliniowej az. 194°             | 0,3-2,0              | <1,0  | <1,0       | <1,0 | 1.8  | 0.06   | 50°34'34.32"<br>22°3'31.68"                                      |
| 10       | GKP w odległości 53m od anteny radioliniowej az. 194°             | 0,3-2,0              | <1,0  | <1,0       | <1,0 | 1.8  | 0.06   | 50°34'33.6"<br>22°3'31.32"                                       |
| 11       | GKP w odległości 25m od anteny radioliniowej az. 201°             | 0,3-2,0              | <1,0  | <1,0       | <1,0 | 1.8  | 0.06   | 50°34'34.68"<br>22°3'31.32"                                      |
| 12       | GKP w odległości 39m od anteny radioliniowej az. 201°             | 0,3-2,0              | <1,0  | <1,0       | <1,0 | 1.8  | 0.06   | 50°34'34.32"<br>22°3'31.32"                                      |
| 13       | GKP w odległości 34m od anteny sektorowej az. 225°                | 0,3-2,0              | <1,0  | <1,0       | <1,0 | 1.8  | 0.06   | 50°34'34.68"<br>22°3'30.959"                                     |
| 14       | GKP w odległości 61m od anteny sektorowej az. 225°                | 0,3-2,0              | <1,0  | <1,0       | <1,0 | 1.8  | 0.06   | 50°34'33.959"<br>22°3'29.879"                                    |
| 15       | GKP w odległości 79m od anteny sektorowej az. 225°                | 0,3-2,0              | <1,0  | <1,0       | <1,0 | 1.8  | 0.06   | 50°34'33.6"<br>22°3'29.519"                                      |

Sprawozdanie z badań bez pisemnej zgody laboratorium nie może być powielane inaczej niż w całości. Wynik przedstawione w niniejszym sprawozdaniu odnoszą się wyłącznie do badanego obiektu i do warunków i konfiguracji urządzeń w dniu wykonywania pomiarów.

|    |  |         |      |      |      |     |      |                               |
|----|--|---------|------|------|------|-----|------|-------------------------------|
| 16 | GKP w odległości 3m od anteny radioliniowej az. 270°   | 0,3-2,0 | <1,0 | <1,0 | <1,0 | 1.8 | 0.06 | 50°34'35.759"<br>22°3'31.32"  |
| 17 | GKP w odległości 27m od anteny radioliniowej az. 270°  | 0,3-2,0 | <1,0 | <1,0 | <1,0 | 1.8 | 0.06 | 50°34'35.759"<br>22°3'29.879" |
| 18 | GKP w odległości 50m od anteny radioliniowej az. 270°  | 0,3-2,0 | <1,0 | <1,0 | <1,0 | 1.8 | 0.06 | 50°34'35.759"<br>22°3'28.799" |
| 19 | GKP w odległości 5m od anteny sektorowej az. 340°  | 2,0     | 1,2  | 1,2  | 1,2  | 2.2 | 0.08 | 50°34'36.12"<br>22°3'31.68"   |
| 20 | GKP w odległości 34m od anteny sektorowej az. 340°   | 0,3-2,0 | <1,0 | <1,0 | <1,0 | 1.8 | 0.06 | 50°34'37.199"<br>22°3'30.959" |
| 21 | GKP w odległości 57m od anteny sektorowej az. 340°   | 2,0     | 1,4  | 1,4  | 1,4  | 2.5 | 0.09 | 50°34'37.919"<br>22°3'30.959" |
| 22 | GKP w odległości 83m od anteny sektorowej az. 340°   | 2,0     | 1,6  | 1,6  | 1,6  | 2.9 | 0.1  | 50°34'38.639"<br>22°3'30.239" |
| 23 | PPP na az. 355° w odległości 72m od anteny sektorowej az. 340°, narożnik budynku straży pożarnej | 2,0     | 1,4  | 1,4  | 1,4  | 2.5 | 0.09 | 50°34'38.28"<br>22°3'31.68"   |
| 24 | PPP na az. 354° w odległości 34m od anteny sektorowej az. 340°, narożnik budynku straży pożarnej | 2,0     | 1,6  | 1,6  | 1,6  | 2.9 | 0.1  | 50°34'37.199"<br>22°3'31.32"  |
| 25 | PPP na az. 41° w odległości 41m od anteny sektorowej az. 340°, narożnik budynku straży pożarnej  | 2,0     | 1,2  | 1,2  | 1,2  | 2.2 | 0.08 | 50°34'37.199"<br>22°3'33.12"  |
| 26 | PPP na az. 74° w odległości 67m od anteny sektorowej az. 100°                                    | 2,0     | 1,6  | 1,6  | 1,6  | 2.9 | 0.1  | 50°34'36.12"<br>22°3'35.639"  |
| 27 | PPP na az. 118° w odległości 75m od anteny sektorowej az. 100°, narożnik budynku usługowego      | 0,3-2,0 | <1,0 | <1,0 | <1,0 | 1.8 | 0.06 | 50°34'34.32"<br>22°3'35.639"  |
| 28 | PPP na az. 130° w odległości 73m od anteny sektorowej az. 100°, narożnik budynku usługowego      | 0,3-2,0 | <1,0 | <1,0 | <1,0 | 1.8 | 0.06 | 50°34'33.959"<br>22°3'35.279" |
| 29 | PPP na az. 231° w odległości 45m od anteny radioliniowej az. 270°                                | 0,3-2,0 | <1,0 | <1,0 | <1,0 | 1.8 | 0.06 | 50°34'35.039"<br>22°3'29.519" |
| 30 | PPP na az. 289° w odległości 36m od anteny radioliniowej az. 270°, narożnik budynku usługowego   | 0,3-2,0 | <1,0 | <1,0 | <1,0 | 1.8 | 0.06 | 50°34'36.12"<br>22°3'29.519"  |
| 31 | PPP na az. 318° w odległości 56m od anteny sektorowej az. 340°                                   | 0,3-2,0 | <1,0 | <1,0 | <1,0 | 1.8 | 0.06 | 50°34'37.199"<br>22°3'29.879" |
| 32 | DPP, 11 piętro budynku stacji, otwarte okno na korytarzu   | 2,0     | 3,1  | 3,1  | 3,1  | 5.6 | 0.2  | 50°34'36.12"<br>22°3'32.4"    |
| -  | GKP w odległości 730m od anteny sektorowej az. 100°  | 0,3-2,0 | <1,0 | <1,0 | <1,0 | 1.8 | 0.06 | 50°34'31.44"<br>22°4'9.119"   |
| -  | GKP w odległości 693m od anteny sektorowej az. 225°  | 2,0     | 1,3  | 1,3  | 1,3  | 2.4 | 0.08 | 50°34'19.559"<br>22°3'7.199"  |
| -  | GKP w odległości 675m od anteny sektorowej az. 340°  | 0,3-2,0 | <1,0 | <1,0 | <1,0 | 1.8 | 0.06 | 50°34'56.639"<br>22°3'19.799" |

Pole magnetyczne (wyznaczone na podstawie pomiaru wartości natężenia pola elektrycznego)

| Nr pionu | Opis umiejscowienia pionu (punktu) pomiarowego      | Wysokość pomiaru [m] | Wartość natężenia pola magnetycznego H [A/m] <sup>1</sup> |            |         | Wartość natężenia pola magnetycznego po uwzględnieniu poprawek pomiarowych powiększona o niepewność pomiaru <sup>4</sup> H [A/m] | Wskaźnikowa wartość poziomu emisji pól elektromagnetycznych WM <sub>H</sub> <sup>3</sup> | Współrzędne geograficzne pionu (punktu) pomiarowego <sup>2</sup> |
|----------|---|----------------------|---|------------|---------|--|--|--|
|          |   |                      | Sonda S-05  | Sonda S-25 | SUMA    |  |  |  |
| 1        | GKP w odległości 4m od anteny radioliniowej az. 3°  | 0,3-2,0              | <0.003*   | <0.003*    | <0.003* | 0.005  | 0.07   | 50°34'36.479"<br>22°3'32.04"                                     |
| 2        | GKP w odległości 23m od anteny radioliniowej az. 3° | 2,0                  | 0.004   | 0.004      | 0.004   | 0.007  | 0.09   | 50°34'36.84"<br>22°3'32.04"                                      |

Sprawozdanie z badań bez pisemnej zgody laboratorium nie może być powielane inaczej niż w całości.  
Wynik przedstawione w niniejszym sprawozdaniu odnoszą się wyłącznie do badanego obiektu i do warunków i konfiguracji urządzeń w dniu wykonywania pomiarów.

|    |  |         |         |         |         |       |      |                               |
|----|--|---------|---------|---------|---------|-------|------|-------------------------------|
| 3  | GKP w odległości 43m od anteny radioliniowej az. 3°  | 0,3-2,0 | <0.003* | <0.003* | <0.003* | 0.005 | 0.07 | 50°34'37.56"<br>22°3'32.04"   |
| 4  | GKP w odległości 7m od anteny sektorowej az. 100°  | 2,0     | 0.004   | 0.004   | 0.004   | 0.007 | 0.09 | 50°34'35.759"<br>22°3'32.76"  |
| 5  | GKP w odległości 24m od anteny sektorowej az. 100°   | 2,0     | 0.005   | 0.005   | 0.005   | 0.008 | 0.11 | 50°34'35.4"<br>22°3'33.48"    |
| 6  | GKP w odległości 53m od anteny sektorowej az. 100°   | 2,0     | 0.003   | 0.003   | 0.003   | 0.006 | 0.09 | 50°34'35.4"<br>22°3'34.919"   |
| 7  | GKP w odległości 80m od anteny sektorowej az. 100°   | 2,0     | 0.004   | 0.004   | 0.004   | 0.008 | 0.11 | 50°34'35.039"<br>22°3'36.359" |
| 8  | GKP w odległości 4m od anteny radioliniowej az. 194°, 201° i 225°                                | 0,3-2,0 | <0.003* | <0.003* | <0.003* | 0.005 | 0.07 | 50°34'35.4"<br>22°3'32.04"    |
| 9  | GKP w odległości 33m od anteny radioliniowej az. 194°  | 0,3-2,0 | <0.003* | <0.003* | <0.003* | 0.005 | 0.07 | 50°34'34.32"<br>22°3'31.68"   |
| 10 | GKP w odległości 53m od anteny radioliniowej az. 194°  | 0,3-2,0 | <0.003* | <0.003* | <0.003* | 0.005 | 0.07 | 50°34'33.6"<br>22°3'31.32"    |
| 11 | GKP w odległości 25m od anteny radioliniowej az. 201°  | 0,3-2,0 | <0.003* | <0.003* | <0.003* | 0.005 | 0.07 | 50°34'34.68"<br>22°3'31.32"   |
| 12 | GKP w odległości 39m od anteny radioliniowej az. 201°  | 0,3-2,0 | <0.003* | <0.003* | <0.003* | 0.005 | 0.07 | 50°34'34.32"<br>22°3'31.32"   |
| 13 | GKP w odległości 34m od anteny sektorowej az. 225°   | 0,3-2,0 | <0.003* | <0.003* | <0.003* | 0.005 | 0.07 | 50°34'34.68"<br>22°3'30.959"  |
| 14 | GKP w odległości 61m od anteny sektorowej az. 225°   | 0,3-2,0 | <0.003* | <0.003* | <0.003* | 0.005 | 0.07 | 50°34'33.959"<br>22°3'29.879" |
| 15 | GKP w odległości 79m od anteny sektorowej az. 225°   | 0,3-2,0 | <0.003* | <0.003* | <0.003* | 0.005 | 0.07 | 50°34'33.6"<br>22°3'29.519"   |
| 16 | GKP w odległości 3m od anteny radioliniowej az. 270°   | 0,3-2,0 | <0.003* | <0.003* | <0.003* | 0.005 | 0.07 | 50°34'35.759"<br>22°3'31.32"  |
| 17 | GKP w odległości 27m od anteny radioliniowej az. 270°  | 0,3-2,0 | <0.003* | <0.003* | <0.003* | 0.005 | 0.07 | 50°34'35.759"<br>22°3'29.879" |
| 18 | GKP w odległości 50m od anteny radioliniowej az. 270°  | 0,3-2,0 | <0.003* | <0.003* | <0.003* | 0.005 | 0.07 | 50°34'35.759"<br>22°3'28.799" |
| 19 | GKP w odległości 5m od anteny sektorowej az. 340°  | 2,0     | 0.003   | 0.003   | 0.003   | 0.006 | 0.08 | 50°34'36.12"<br>22°3'31.68"   |
| 20 | GKP w odległości 34m od anteny sektorowej az. 340°   | 0,3-2,0 | <0.003* | <0.003* | <0.003* | 0.005 | 0.07 | 50°34'37.199"<br>22°3'30.959" |
| 21 | GKP w odległości 57m od anteny sektorowej az. 340°   | 2,0     | 0.004   | 0.004   | 0.004   | 0.007 | 0.09 | 50°34'37.919"<br>22°3'30.959" |
| 22 | GKP w odległości 83m od anteny sektorowej az. 340°   | 2,0     | 0.004   | 0.004   | 0.004   | 0.008 | 0.11 | 50°34'38.639"<br>22°3'30.239" |
| 23 | PPP na az. 355° w odległości 72m od anteny sektorowej az. 340°, narożnik budynku straży pożarnej | 2,0     | 0.004   | 0.004   | 0.004   | 0.007 | 0.09 | 50°34'38.28"<br>22°3'31.68"   |
| 24 | PPP na az. 354° w odległości 34m od anteny sektorowej az. 340°, narożnik budynku straży          | 2,0     | 0.004   | 0.004   | 0.004   | 0.008 | 0.11 | 50°34'37.199"<br>22°3'31.32"  |

Sprawozdanie z badań bez pisemnej zgody laboratorium nie może być powielane inaczej niż w całości.  
Wynik przedstawione w niniejszym sprawozdaniu odnoszą się wyłącznie do badanego obiektu i do warunków i konfiguracji urządzeń w dniu wykonywania pomiarów.

|    |   |         |              |              |         |       |      |                               |
|----|---|---------|--------------|--------------|---------|-------|------|-------------------------------|
|    | pożarnej  |         |              |              |         |       |      |                               |
| 25 | PPP na az. 41° w odległości 41m od anteny sektorowej az. 340°, narożnik budynku straży pożarnej | 2,0     | 0.003        | 0.003        | 0.003   | 0.006 | 0.08 | 50°34'37.199"<br>22°3'33.12"  |
| 26 | PPP na az. 74° w odległości 67m od anteny sektorowej az. 100°                                   | 2,0     | 0.004        | 0.004        | 0.004   | 0.008 | 0.11 | 50°34'36.12"<br>22°3'35.639"  |
| 27 | PPP na az. 118° w odległości 75m od anteny sektorowej az. 100°, narożnik budynku usługowego     | 0,3-2,0 | <0.003*      | <0.003*      | <0.003* | 0.005 | 0.07 | 50°34'34.32"<br>22°3'35.639"  |
| 28 | PPP na az. 130° w odległości 73m od anteny sektorowej az. 100°, narożnik budynku usługowego     | 0,3-2,0 | <0.003*      | <0.003*      | <0.003* | 0.005 | 0.07 | 50°34'33.959"<br>22°3'35.279" |
| 29 | PPP na az. 231° w odległości 45m od anteny radioliniowej az. 270°                               | 0,3-2,0 | <0.003*      | <0.003*      | <0.003* | 0.005 | 0.07 | 50°34'35.039"<br>22°3'29.519" |
| 30 | PPP na az. 289° w odległości 36m od anteny radioliniowej az. 270°, narożnik budynku usługowego  | 0,3-2,0 | <0.003*      | <0.003*      | <0.003* | 0.005 | 0.07 | 50°34'36.12"<br>22°3'29.519"  |
| 31 | PPP na az. 318° w odległości 56m od anteny sektorowej az. 340°                                  | 0,3-2,0 | <0.003*      | <0.003*      | <0.003* | 0.005 | 0.07 | 50°34'37.199"<br>22°3'29.879" |
| 32 | DPP, 11 piętro budynku stacji, otwarte okno na korytarzu  | 2,0     | <b>0.008</b> | <b>0.008</b> | 0.008   | 0.015 | 0.2  | 50°34'36.12"<br>22°3'32.4"    |
| -  | GKP w odległości 730m od anteny sektorowej az. 100°   | 0,3-2,0 | <0.003*      | <0.003*      | <0.003* | 0.005 | 0.07 | 50°34'31.44"<br>22°4'9.119"   |
| -  | GKP w odległości 693m od anteny sektorowej az. 225°   | 2,0     | 0.003        | 0.003        | 0.003   | 0.006 | 0.09 | 50°34'19.559"<br>22°3'7.199"  |
| -  | GKP w odległości 675m od anteny sektorowej az. 340°   | 0,3-2,0 | <0.003*      | <0.003*      | <0.003* | 0.005 | 0.07 | 50°34'56.639"<br>22°3'19.799" |

GKP – Główny Kierunek Pomiarowy

DPP – Dodatkowy Pion Pomiarowy

PPP – Pomocniczy Pion pomiarowy

<sup>1</sup> wyniki oznaczone \* są wynikami poniżej czułości zestawu pomiarowego

<sup>2</sup> współrzędne geograficzne pozyskane metodą obliczeniową w oparciu o pomiar punktu referencyjnego

<sup>3</sup> do wyznaczenia wartości wskaźnikowej  $W_{Me}$  i  $W_{Mn}$  przyjęto na podstawie uzgodnień z klientem oraz rozpoznania źródeł, jako wartości dopuszczalne pola elektrycznego i magnetycznego odpowiednio 28 V/m i 0,073 A/m.

<sup>4</sup> do wyznaczenia niepewności dla wyników poniżej czułości zestawu pomiarowego, przyjęto niepewność dla minimalnej wartości z zakresu pomiarowego.

<sup>5</sup> maksymalna wartość chwilowa

Niepewność oszacowano zgodnie z dokumentem P-03 „Procedura nadzoru nad wyposażeniem” w postaci niepewności rozszerzonej wynikającej z niepewności standardowej pomnożonej przez współczynnik rozszerzenia  $k=2$ .

Całkowita szacowana niepewność rozszerzona składowej E wynosi odpowiednio:

sonda S-05: 29.5% dla częstotliwości do 3 GHz, sonda S-25: 27.6% dla częstotliwości do 3 GHz

Dla przedmiotowych pomiarów zlecniodawca określił poprawkę pomiarową = 1.4.

Umieszczenie pionów (punktów) pomiarowych przedstawiono w nr 2 do niniejszego sprawozdania.

## 10. Omówienie wyników pomiarów

Wyniki pomiarów uzyskane zostały przy uwzględnieniu poprawek pomiarowych przekazanych przez zlecniodawcę, umożliwiającą uwzględnienie maksymalnych parametrów pracy instalacji zlecniodawcy oraz innych operatorów występujących w obszarze pomiarowym.

Sprawozdanie z badań bez pisemnej zgody laboratorium nie może być powielane inaczej niż w całości.

Wynik przedstawione w niniejszym sprawozdaniu odnoszą się wyłącznie do badanego obiektu i do warunków i konfiguracji urządzeń w dniu wykonywania pomiarów.

W wyniku zastosowania sposobu sprawdzenia dotrzymania dopuszczalnych poziomów pól elektromagnetycznych w środowisku, zgodnie pkt 25 ppkt 1 Rozporządzenia Ministra Klimatu z dnia 17 lutego 2020 r. (Dz. U. 2020, poz. 258), w związku z tym, że żadna z wartości wskaźnikowych, udokumentowanych w tabelach w pkt. 9 nie przekracza wartości 1, stwierdza się, że w miejscach, w których wykonano pomiary w otoczeniu instalacji radiokomunikacyjnej 1903 (24105N!) STALOWA WOLA (KTB\_STALOWAWOLA\_MOSTOSTAL), dopuszczalne poziomy pól elektromagnetycznych w środowisku należy uznać za dotrzymane.

#### 11. Podstawa prawna

- 1) Ustawa z dnia 27 kwietnia 2001 r. Prawo ochrony środowiska (t. j. Dz. U. z 2021 r., poz. 1973 z późn.zm.)
- 2) Rozporządzenie Ministra Zdrowia z dnia 17 grudnia 2019 r. w sprawie dopuszczalnych poziomów pól elektromagnetycznych w środowisku (Dz. U. 2019, poz. 2448)
- 3) Rozporządzenie Ministra Klimatu z dnia 17 lutego 2020 r. w sprawie sposobów sprawdzania dotrzymania dopuszczalnych poziomów pól elektromagnetycznych w środowisku (Dz. U. 2020, poz. 258),
- 4) Akredytacja nr AB 419 wydana przez Polskie Centrum Akredytacji (wydanie 20, z dnia 10 czerwca 2022r.).
- 5)

#### 12. Spis załączników

- Załącznik 1. Lokalizacja obiektu badań  
Załącznik 2. Usytuowanie pionów (punktów) pomiarowych  
Załącznik 3. Dokumentacja fotograficzna obiektu badań

#### 13. Data wydania i autoryzowania sprawozdania

Obliczenia i sprawozdanie wykonał :



Signed by /  
Podpisano przez:

Anna Kacperska

Date / Data:  
2022-06-13  
13:37

Sprawozdanie autoryzował:



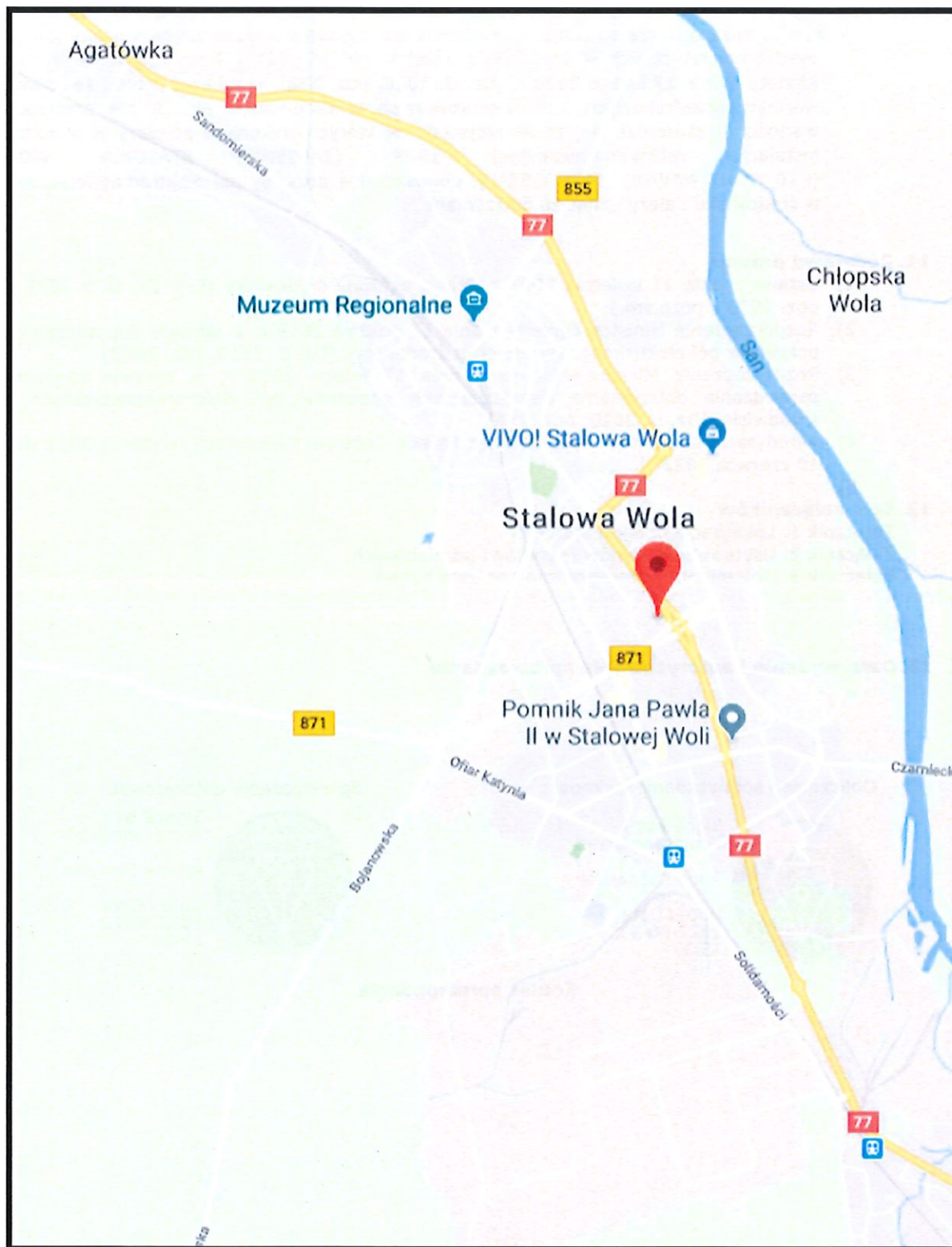
Signed by /  
Podpisano przez:

Joanna Szmytka

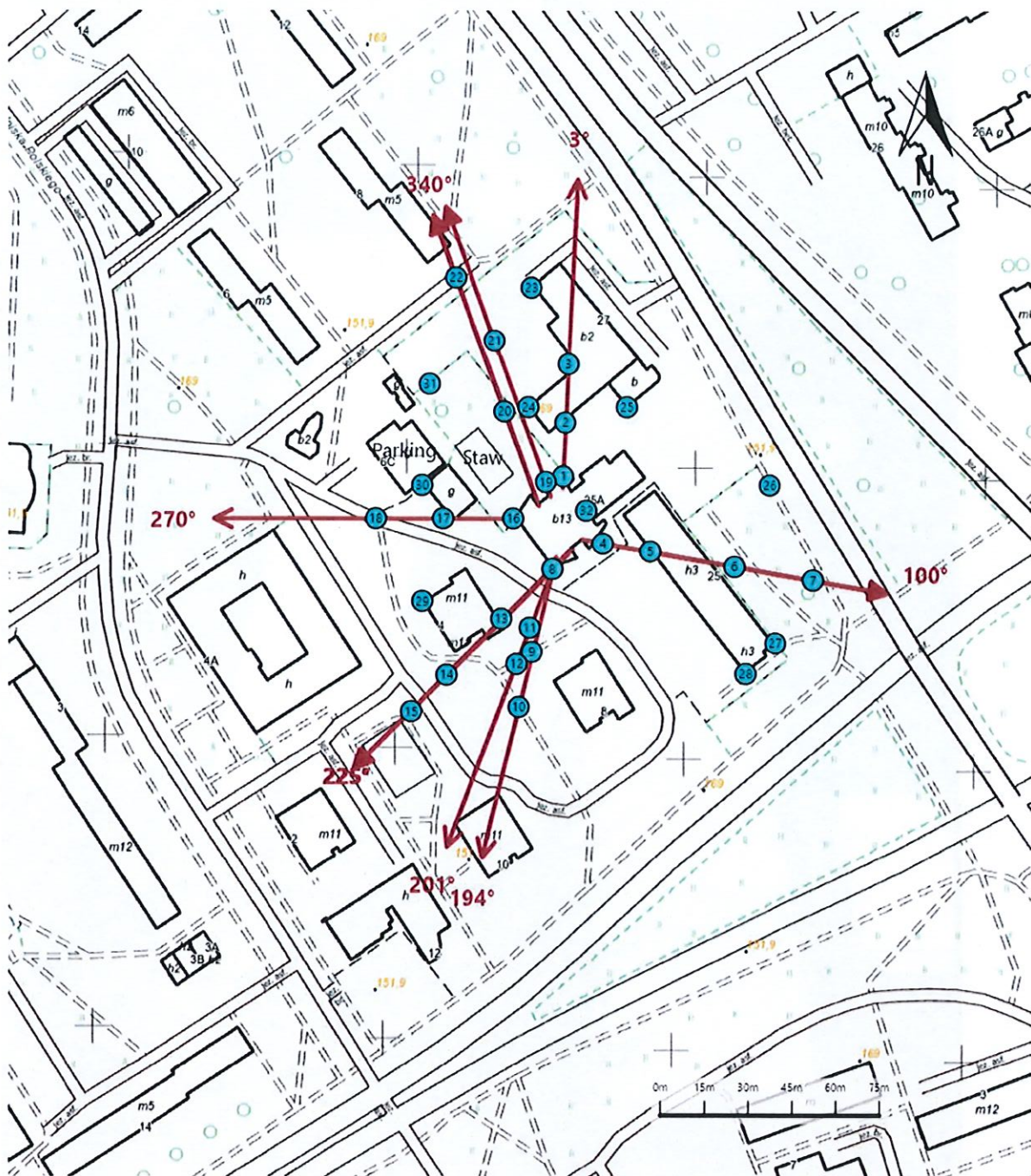
Date / Data:  
2022-06-22  
07:08




**Koniec sprawozdania**

Sprawozdanie z badań bez pisemnej zgody laboratorium nie może być powielane inaczej niż w całości.  
Wynik przedstawione w niniejszym sprawozdaniu odnoszą się wyłącznie do badanego obiektu i do warunków i konfiguracji urządzeń w dniu wykonywania pomiarów.



|                       |  |
|-----------------------|--|
| <b>Załącznik nr 1</b> | <b>INSTALACJA RADIOKOMUNIKACYJNA Orange Polska S.A. 1903 (24105NI) STALOWA WOLA (KTB_STALOWAWOLA_MOSTOTAL)</b><br>Lokalizacja instalacji radiokomunikacyjnej |
|-----------------------|--|



|                |  |
|----------------|--|
| Załącznik nr 2 | <p style="text-align: center;">Instalacja radiokomunikacyjna Orange Polska S.A.<br/>                 KTB_STALOWAWOLA_MOSTOSTAL (24105N!)<br/>                 Usytuowanie pionów pomiarowych w otoczeniu instalacji radiokomunikacyjnej</p>  |
|                | <p>Legenda:</p> <div style="display: flex; justify-content: space-around; align-items: center;"> <div style="text-align: center;">  <p>Pion pomiarowy</p> </div> <div style="text-align: center;">  <p>Kierunek oddziaływania<br/>anten sektorowych</p> </div> <div style="text-align: center;">  <p>Kierunek oddziaływania<br/>anten radiołunowych</p> </div> </div> |



Załącznik nr 3

INSTALACJA RADIOKOMUNIKACYJNA Orange Polska S.A. 1903 (24105NI) STALOWA WOLA (KTB\_STALOWAWOLA\_MOSTOTAL)  
Zdjęcia instalacji radiokomunikacyjnej